

Research Article

## Investigating the deformation trends in the middle part of Kohzad in eastern Iran (the boundary between the two Kohvorak faults and the Zahedan fault) based on structural data and the calculation of paleostress

Mohammadmahdi Khatib<sup>1\*</sup>, Hassan Asghari<sup>1</sup>, Ebrahim Gholami<sup>1</sup>, Sasan Bagheri<sup>2</sup>

1- Department of geology, Faculty of science, University of Birjand, Birjand, Iran

2- Department of Geology, Faculty of Sciences, University of Sistan and Baluchestan, Zahedan, Iran

**Keywords:** Deformation, Right-lateral strike-slip fault, Folding, Paleostresses, Eastern Iran

### 1-Introduction

The study area is the middle zone in eastern Iran, between the Lut block to the west and the Afghan block to the East. This area includes sequences of Upper Cretaceous, siliciclastic sediments, facies from the Paleocene-Eocene, deep marine deposits, and limestone blocks from the Cretaceous and Eocene (Tirrul, 1983). Due to the diverse structural and deformational features, various ideas have been proposed regarding Iran's tectonic evolution of the eastern Zagros Mountains. The application of different stresses over varying periods creates diverse deformations, and paleostress studies in this region and their relationship with existing deformations are one of the appropriate tools for better understanding the mechanisms governing these deformations. In this context, paleostress, various studies have been conducted by different researchers in the northern parts of this mountain range; Mousavi (2010) in the southern Birjand, Janzer (2017) in the northern regions of the Sistan belt, Ezati (2020) in the Shekarab Mountains (north of Birjand), and Sahimi (2018) in the Shireshtor area (north of the Sarbisheh). Given that the region is highly structurally diverse and experiences less deformation and tectonic disturbances compared to the north of the eastern Iran mountains, it can be a suitable candidate for studying and differentiating stress phases and, in various contexts, obtaining valuable information that can be used in interpreting the tectonic evolution of this mountain range. This research aims to examine changes in stress direction over different time intervals in different rock units and folds by utilizing data obtained from the geometric and kinematic characteristics of faults, comparing them with folding patterns and other geological structures, and differentiating various phases of deformation. The tectonic analysis involves data collection, separation of data based on defined criteria, calculation of stress fields, and examination of the kinematics of folds, ultimately identifying and classifying different deformation events (Fig 1).

### 2-Material and methods

Field data was collected after conducting previous studies and investigations, including the geometric characteristics of faults and folds (including fault planes, slickenside fault, fold limbs, axial surfaces of folds, and axes of folds) at 15 stations. Then, the principal stress directions were determined using the inverse stress tensor method using the geometric location of the fault planes and fault lines (Angelier, 1979).

To determine the location of the kinematic axes, the collected data, including the geometric position of the fault planes and the axial surfaces of the folds, as well as the data collected from earthquakes with magnitudes greater than 5, were input into Win tensor software for analysis and investigation.

\* Corresponding author: mkhatab@birjand.ac.ir

DOI: 10.22055/aag.2025.48073.2476

Received: 2024-10-23

Accepted: 2025-02-07

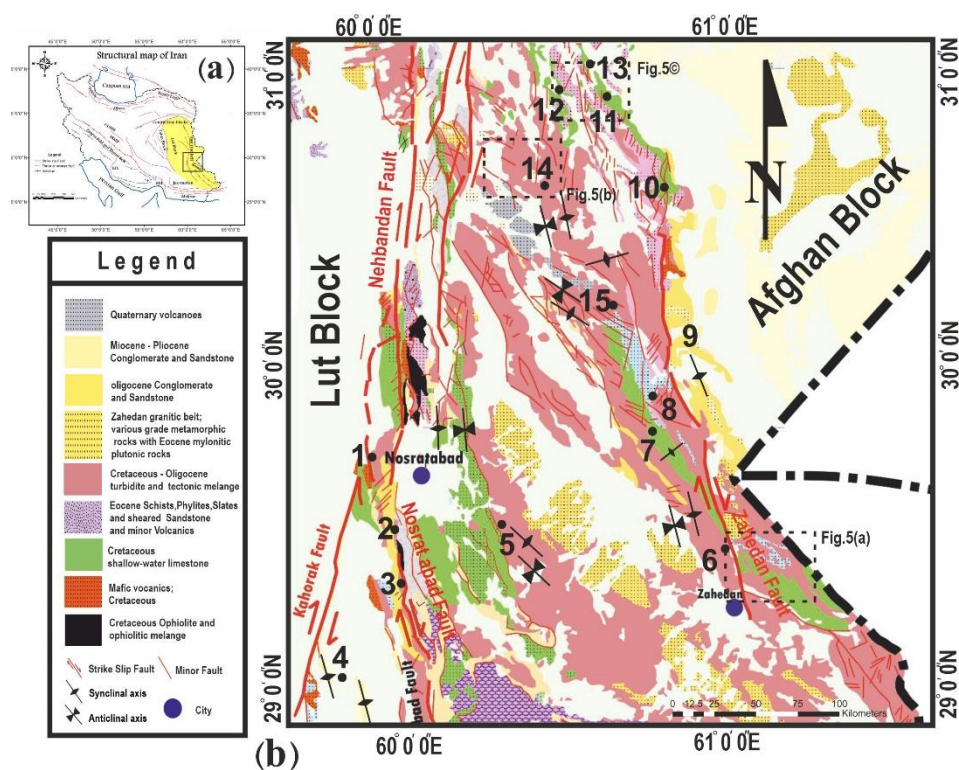


Fig 1- (a) Location of the study area, (b) Geological map and the location of collected data on the map

### 3-Results and discussions

Paleostress analysis is a useful tool that can help us differentiate between various stress phases and better understand the relationships among the deformations that have occurred. This analysis can provide us with valuable and important data regarding the evolutionary processes of mountain ranges. The area examined in this research is the southern part of the Sistan zone, which has diverse and varied deformational structures. These structures indicate a complex and rich tectonic history. This region's existing structural diversity and folds with different axial surfaces suggest that this area has undergone extensive deformations. In this study, we have used paleostress to investigate and analyze the relationships among the deformations. The results obtained from the inversion of the data related to fault lines indicate that the maximum stress axis ( $\sigma_1$ ) has changed over different periods, including from the Cretaceous to the Quaternary, in three distinct stages. These changes correspond to various historical periods, including the Late Cretaceous ( $N197^\circ \pm 10^\circ$ ), Paleogene ( $N60^\circ \pm 25^\circ$ ), and Neogene ( $N10^\circ \pm 10^\circ$ ) (Fig 2, Fig 3,4). Examining the existing folds in the region also indicates at least three phases of deformation: the first phase relates to the north-to-northwest trending folds that have the eastern-western to the northeastern-southwestern axial plane. The second phase, aligned east, pertains to folding with the northern-southern axial plane, and the third phase, oriented Northeast, indicates folds with the northwest-southeast axial plane (Table 1, Fig 5).

The maximum stress directions in these folds, as well as in the faults, are generally similar. We can identify three deformational events based on the stress phases obtained from the existing deformations in this region and the relationships among various elements. The first event is associated with the folds, the trend of which is from eastern-western to northeastern-southwestern. The stress field that created these structures does not correspond with the current stress field, and its dynamic source is directed north-south and toward the northwest, which relates to the period before the collision of the Lut block and the Afghan block in the southeast. The second deformational event led to the formation of structures trending north-south. For example, the folds and fault systems in eastern Iran are the results of this event, which occurred simultaneously with the collision of the Indian plate with Eurasia and the Lut block with the Afghan block.

The third event results from the collision of the Arabian plate with Iran and the change of stress phase in this region; this deformational event has caused the emergence of folds with northwest-southeast trends and the formation of conjugate shear fractures in the area.

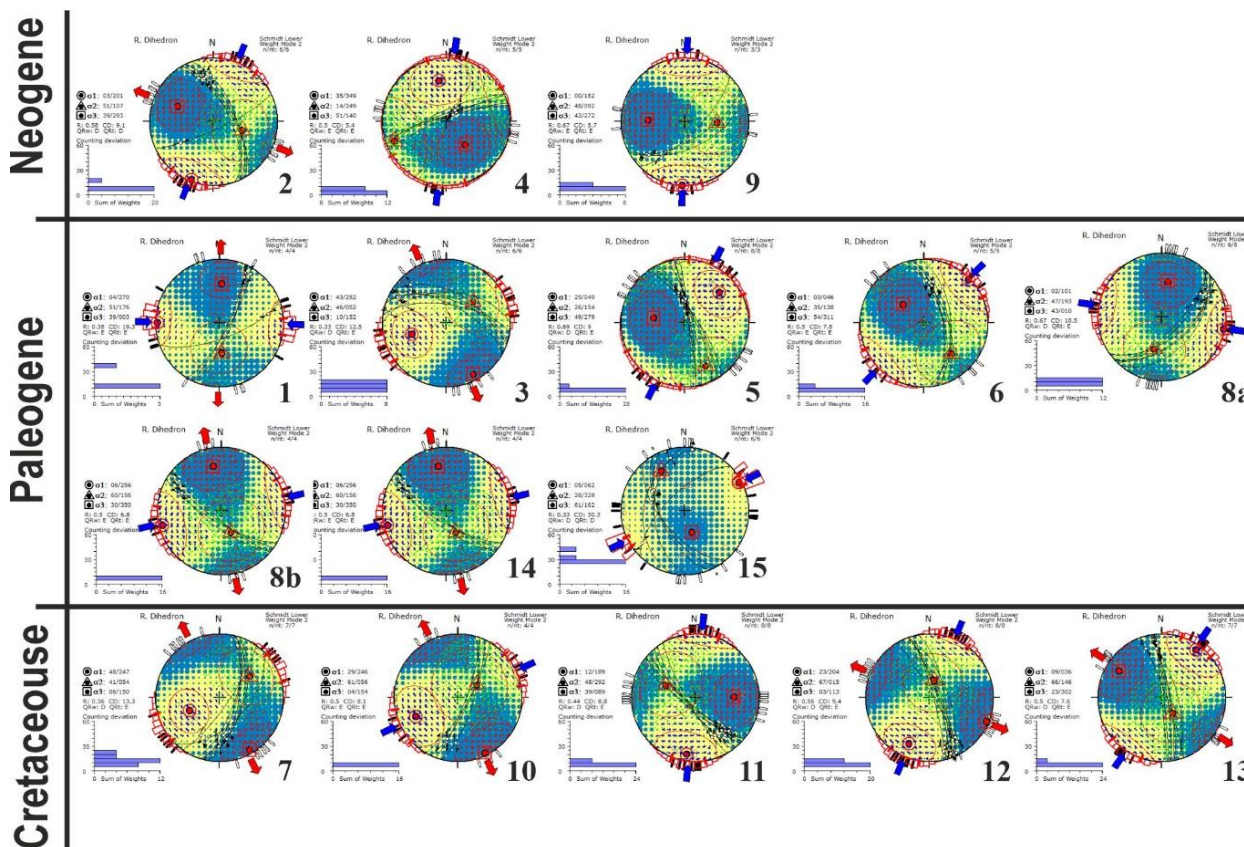


Fig 2 - Changes in Stress in the Study Area During the Cretaceous, Paleogene, Neogene, and Quaternary Periods

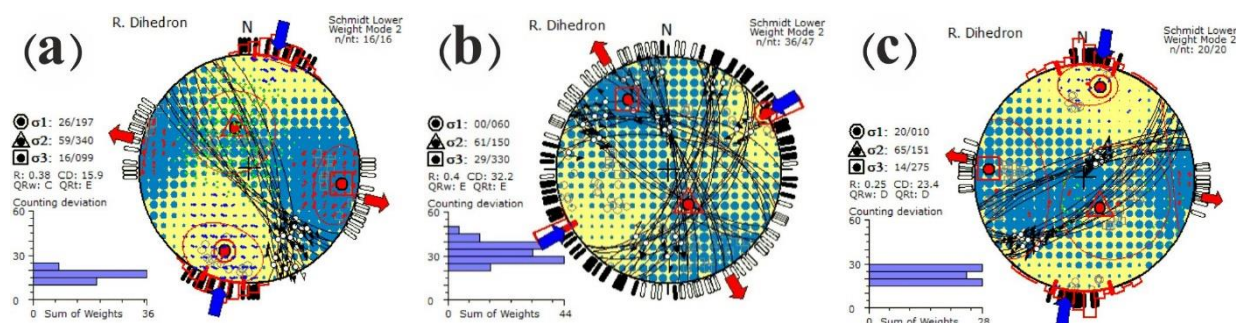


Fig 3 - The trend of principal stresses and the Mohr circle resulting from faulting at three times: (a) Cretaceous, (b) Paleogene, and (c) Neogene, Quaternary

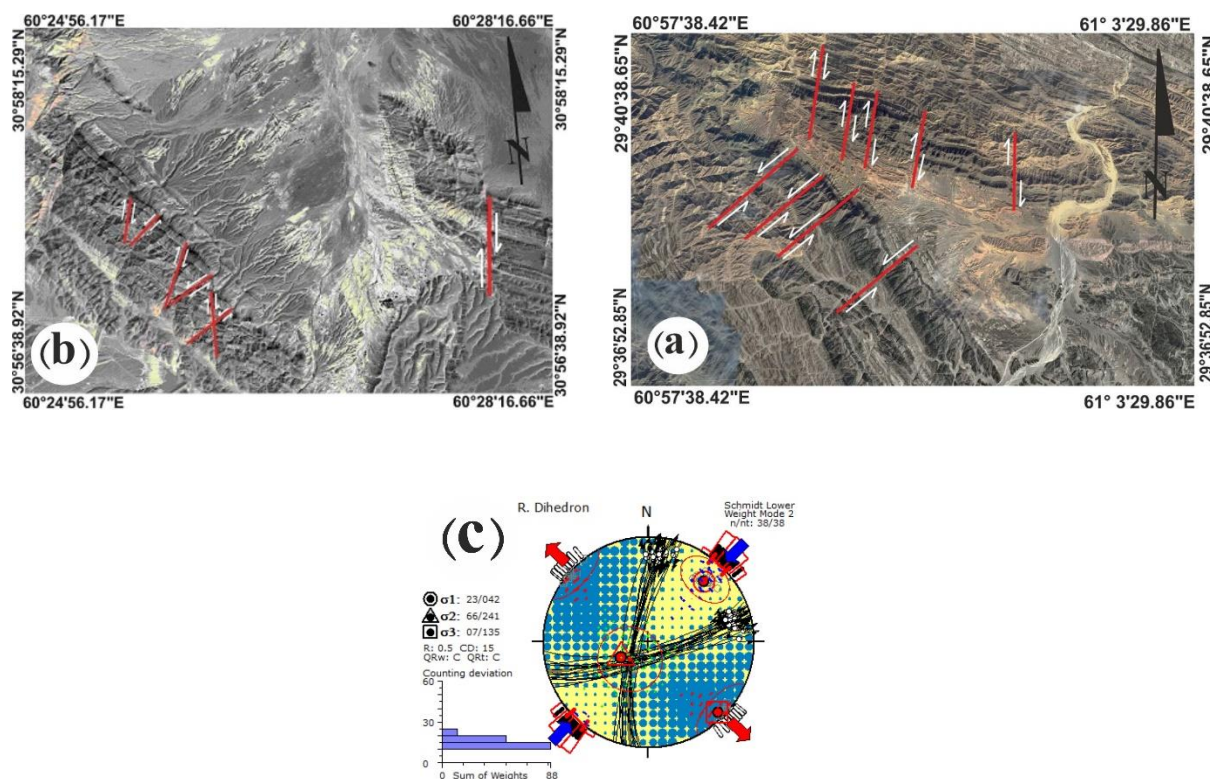
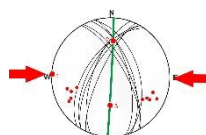
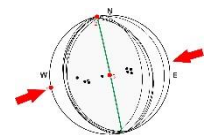
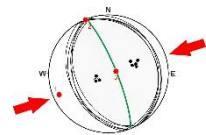
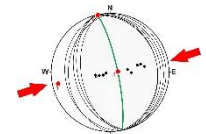


Fig 4- View of conjugate faults in the (a) northeast of Zahedan, (b) East of Sefidabeh along with stereograph and principal stress directions (c)

Table 1: Axial plane, plunge, and Interlimb Angle along with Stereographic Images of Folds in the Study Area

Fold	Latitude Longitude	Stratigraphic age	Axial plane	The angle between the limb	plunge	Maximum shortening
Fold <sub>6</sub>	29°51.15'5"N 60°46.60'4"E	Pliocene	003°/89°	50°	003°/36°	
Fold <sub>14</sub>	29°24'27.53"N 59°42'39.32"E	Miocene	345°/87°	85°	345°/03°	
Fold <sub>4a</sub>	29°23'5.45"N 59°41'6.67"E	Miocene	340°/80°	100°	340°/01°	
Fold <sub>4b</sub>	29°20'1.82"N 59°42'33.87"E	Miocene	345°/80°	110°	340°/02°	

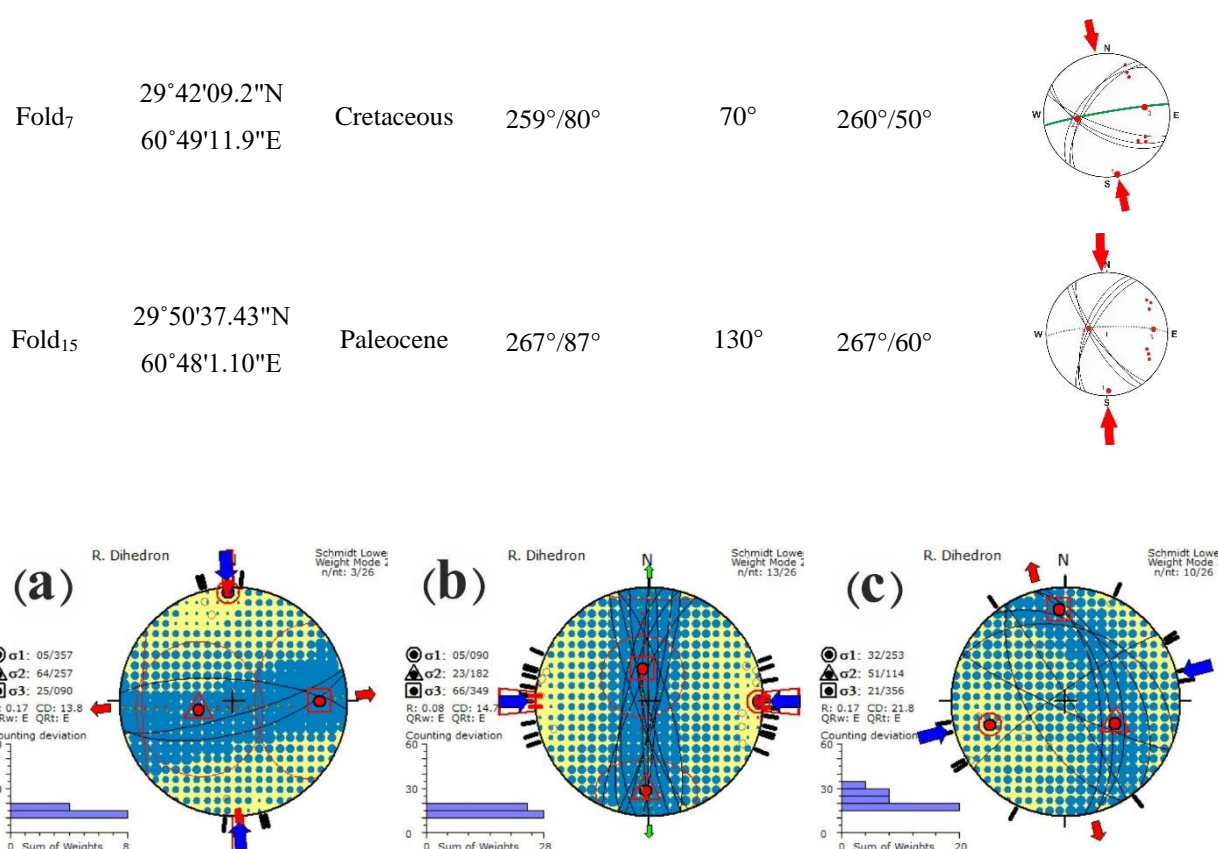


Fig 5 - Classification of the region's folds into three phases of shortening based on the position of the axial plane

#### 4-Conclusion

- 1- The southern Sistan region has diverse deformation structures, indicating its complex tectonic history.
- 2- Three stages of maximum stress ( $\sigma_1$ ) change have been identified in the Late Cretaceous ( $N197^\circ \pm 10^\circ$ ), Paleocene ( $N60^\circ \pm 25^\circ$ ), and Neogene ( $N10^\circ \pm 10^\circ$ ) periods.
- 3- Three deformation events have been identified in the southern Sistan region, related to the collision of the Lut and Afghanistan blocks, the collision of India with Eurasia, and the collision of the Arabian plate with Iran, respectively.
- 4- The direction of maximum stress in folds and faults is almost the same.
- 5- The first deformation event is related to east-west to northeast-southwest trending folds that occurred before the collision of the Lut and Afghanistan blocks.
- 6- The second deformation event includes folds and the East Iranian Fault system, which occurred simultaneously with the collision of India with Eurasia and the Lut block with the Afghanistan block.
- 7- The third deformation event is due to the collision of the Arabian plate with Iran and a change in the stress phase, which led to the formation of northwest-southeast trending folds and the creation of conjugate shear fractures in the region (Fig 6).

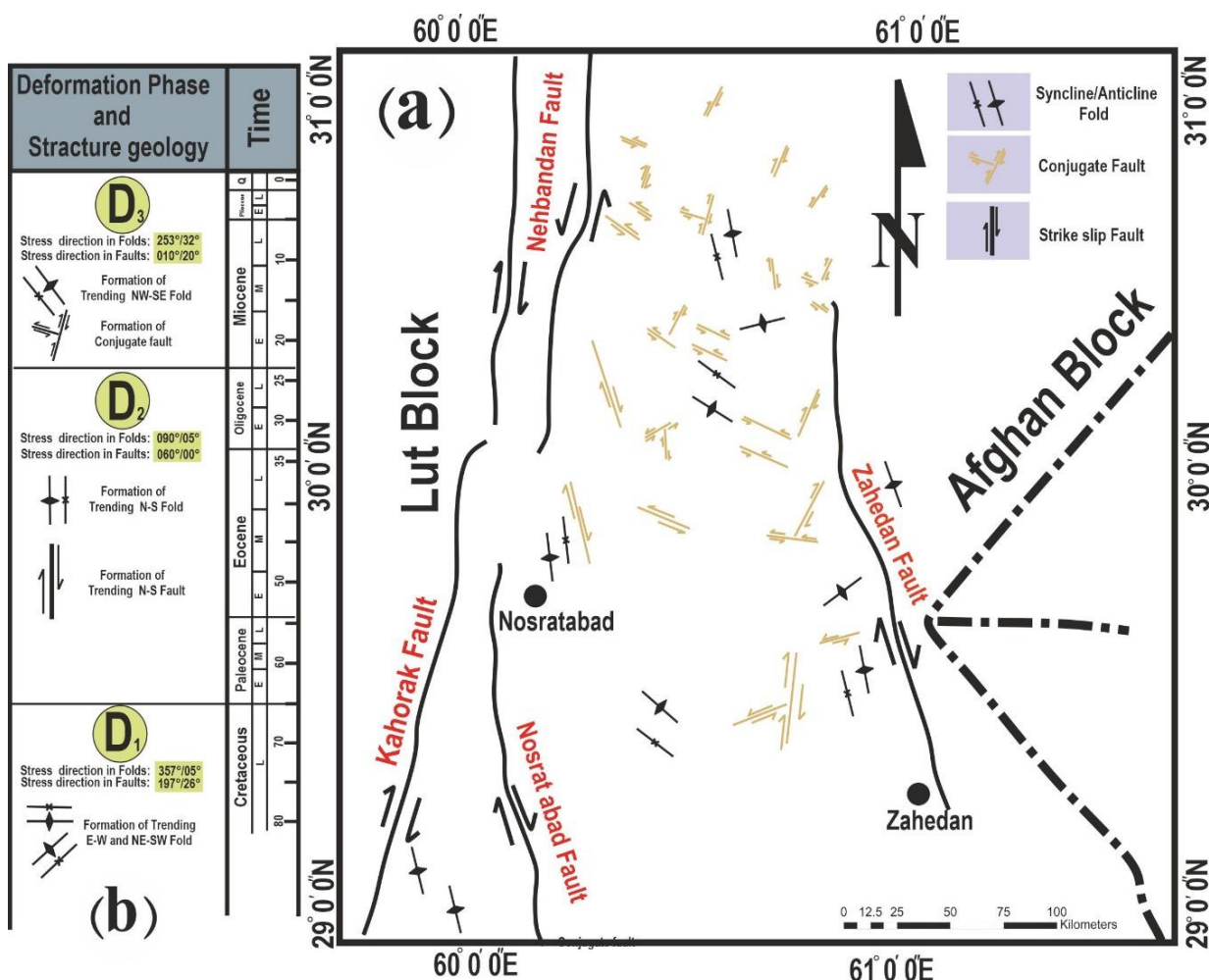


Fig 6- (a) Structural map of the study area. (b) Proposed timeline for the changes in deformation phases, along with the direction of maximum stress and the structures affected by these stresses during the East Iranian orogeny

## 5-References

- Angelier, J., Goguel, J., 1979. Sur une méthode simple de détermination des axes principaux des contraintes pour une population de failles. Comptes Rendus de l'Académie des Sciences de Paris 288, 307-310. [https://doi.org/10.1016/0040-1951\(79\)90081-7](https://doi.org/10.1016/0040-1951(79)90081-7).
- Ezati, M., Gholami, E., Mousavi, SM., 2020. Paleostress regime reconstruction based on brittle structure analysis in the Shekarab Mountain, Eastern Iran. Arabian Journal of Geosciences 13, 1-18. <https://doi.org/10.1007/s12517-020-06235-4>.
- Jentzer, M., et al., 2017. Neogene to Present paleo stress field in Eastern Iran (Sistan belt) and implications for regional geodynamics. Tectonics 36(2), 321-339. <https://doi.org/10.1002/2016TC004275>.
- Mousavi, SM., Khatib, MM., Alavi, A., 2010. Separating ancient stress phases by inversion method from fault planes in the south Birjand region. Iranian Geology Quarterly 4, 27-38, Retrieved from <https://www.magiran.com/p922507>.
- Sahimi, A., Mousavi, SM., Khatib, MM., 2018. Analysis of ancient stress in the Shirshtar region (one of the northern branches of the Nehbandan fault). Master's thesis. University of Birjand, Birjand. <https://doi.org/10.22055/aag.2019.28201.1924>.

Tirrul, R, et al., 1983. The Sistan suture zone of eastern Iran. Geological Society of America Bulletin 94,134-150. [https://doi.org/10.1130/0016-7606\(1983\)94%3C134:TSSZOE%3E2.0.CO;2](https://doi.org/10.1130/0016-7606(1983)94%3C134:TSSZOE%3E2.0.CO;2).

HOW TO CITE THIS ARTICLE:

Khatib, M., Asghari, H., Gholami, E., Bagheri, S., 2025. Investigating the deformation trends in the middle part of Kohzad in eastern Iran (the boundary between the two Kohvorak faults and the Zahedan fault) based on structural data and the calculation of paleostress. *Adv. Appl. Geol.* 15(1), 108-126.

DOI: 10.22055/aag.2025.48073.2476

[https://aag.scu.ac.ir/article\\_19877.html](https://aag.scu.ac.ir/article_19877.html)

©2025 The author(s). This is an open access article distributed under the terms of the Creative Commons Attribution (CC BY 4.0), which permits unrestricted use, distribution, and reproduction in any medium, as long as the original authors and source are cited. No permission is required from the authors or the publishers



مقاله پژوهشی

## بررسی روندهای دگرشكلى بخش ميانى کوهزاد شرق ايران (حد فاصل بين دو گسل کهورك و گسل زاهدان) با تکيه بر داده‌های ساختاري و محاسبه تنش ديرينه

محمد‌مهدي خطيب

گروه زمين‌شناسي، دانشکده علوم، دانشگاه بيرجند، بيرجند، ايران

حسن اصغری

گروه زمين‌شناسي، دانشکده علوم، دانشگاه بيرجند، بيرجند، اiran

ابراهيم غلامي

گروه زمين‌شناسي، دانشکده علوم، دانشگاه بيرجند، بيرجند، اiran

سasan باقری

گروه زمين‌شناسي، دانشکده علوم، گروه زمين‌شناسي، دانشگاه سيسستان وبلوچستان، زاهدان، اiran

[mkhatab@birjand.ac.ir](mailto:mkhatab@birjand.ac.ir)

تاریخ دریافت: ۱۴۰۳/۰۸/۰۲ تاریخ پذیرش: ۱۴۰۳/۱۱/۱۹

### چکیده

منطقه مورد مطالعه در خاور ايران، در شمال شهر زاهدان قرار دارد و از منظر زمين‌شناسي در بخش ميانى کوهزاد شرق اiran واقع شده است. يكى از شاخص‌های اين منطقه، تنوع ساختاري است که نشان‌دهنده تاریخچه تكتونیکی پیچیده‌ای می‌باشد. برای شناخت تاریخچه تكتونیکی و تغييرات فازهای دگرشكلى در اين پژوهش، از روش وارون‌سازی چند مرتبه‌ای داده‌های لغزشی گسل‌ها و بررسی گسل‌های مزدوج و الگوهای ساختاري و جنبشی چين‌خوردگی‌ها استفاده شده است. بررسی داده‌های جنبشی گسل‌ها و محاسبه تنسورهای تنش در زمان‌های مختلف، سه مرحله تغيير در موقعیت اصلی فشردگی (۵۱) را نشان می‌دهد: در زمان‌های كرتاسه پایاني ( $N197^{\circ} \pm 10^{\circ}$ ), نئوژن ( $N60^{\circ} \pm 25^{\circ}$ ) و پالئوژن ( $N10^{\circ} \pm 15^{\circ}$ ). همچنين، بررسی چين‌خوردگی‌ها اين سه مرحله کوتاه‌شدنگی را در منطقه با روندهای شمال، شرق و شمال‌شرقی نشان می‌دهد. با توجه به دگرشكلى‌های ايجادشده و بررسی تنش ديرين در منطقه، می‌توان گفت اين منطقه دچار سه نوع دگرشكلى شده است. چين‌خوردگی نسل اول، قديمى ترين رخداد دگرشكلى است که داراي محور شرقی-غربي بوده و مربوط به چين‌خوردگی‌های قبل از برخورد لوت و افغان می‌باشد. چين‌خوردگی‌های نسل دوم و گسل‌های با روند شمالی - جنوبي نيز در رخداد دوم دگرشكلى، همزمان با بسته شدن حوضه سيسitan در آوسن - آليگوسن ايجاد شده‌اند و همزمان با برخورد بلوك لوت و افغان می‌باشد. پس از برخورد بلوك لوت و افغان، در ادامه رخداد سوم دگرشكلى، چين‌خوردگی نسل سوم، گسل‌های مزدوج و اميداللغز ايجاد می‌شوند که ساختارهای قبلی را قطع کرده و سبب جابه‌جايی آن‌ها می‌گردد.

**واژه‌های کلیدی:** دگرشكلى، گسل اميداللغز راستگرد، چين‌خوردگی، تنش ديرين، شرق اiran.

### ۱- مقدمه

منطقه مورد مطالعه بخش ميانى کوهزاد شرق اiran است که به صورت يك منطقه گوهمانند می‌باشد و بين بلوك لوت در غرب و بلوك افغان در شرق قرار دارد. اين منطقه شامل سكانس‌های افيليتي به سن كرتاسه فوقاني، رسوبات سيليسى كلاستيک، رخساره فليش به سن پالئوسن - آوسن، رسوبات دريایي عميق و بلوك‌های آهکي به سن كرتاسه و آوسن می‌باشد (Tirrul et al., 1983). به دليل تنوع ساختاري و دگرشكلى‌های متفاوت، ايده‌های مختلفی درباره تکامل تكتونیکی کوهزاد شرق اiran مطرح گردیده است. اعمال تنش‌های مختلف در محدوده زمانی متفاوت، دگرشكلى‌های

قاره‌ای، بالا آمدن، و حداقل سه مرحله تغییر شکل از زمان سنوزوئیک تا حال حاضر مسئول پیکربندی کنونی زون سیستان بوده است.

## ۲-۲- زمین‌شناسی منطقه مورد مطالعه

فرآیندهای تکتونیکی مختلف بر واحدهای سنگی این منطقه تاثیر گذاشته‌اند و سبب ایجاد ساختارهایی با روندهای متفاوت شده‌اند، از این رو به منظور درک و شناخت فازهای تکتونیکی نیاز به شناخت جهت‌های تنش در زمان‌های مختلف ضرورت دارد. ساختارهای مختلفه مورد مطالعه به ترتیب از غرب به شرق شامل: ۱- گسل کهورک با روند شمال شرقی جنوب غربی بوده که از جنوب تا شمال آتشفشن بزمان و از شمال با گسل نصرت‌آباد یکی شده و به گسل پلکانی که حالت زیگموئیدال دارند که بیانگر پهنه برشی - فشارشی است (Shahrabi, 1994). بین گسل نصرت‌آباد و کهورک قرار گرفته‌اند. این تاقدیس‌های بزرگ با سن نئوژن و شامل سیلت و ماسه و کنگلومرا یا نهشته‌های تیپ فلیش می‌باشند. فاصله بین دو گسل کهورک و نصرت‌آباد دارای نهشته‌های جوان با سن کواترنری تانئوژن بوده لذا به دلیل جوان بودن دارای ساختمنهای منظم می‌باشند و زمین ساخت کمتری را متحمل شده‌اند. ۳- گسل نصرت‌آباد با روند شمالی جنوبی که از شمال با گسل کهورک و نهبندان یکی می‌شود و از جنوب به سوی شرق چرخش نموده و با گسل دامن و زابلی یکی می‌شود (Shahrabi, 1994). ۴- مجموعه افیولیتی با سن کرتاسه شامل سنگ‌های التراپلیک، گدازه‌های بالشی، دایک‌های ورقه‌ای همراه با نهشته‌های دریایی ژرف مانند آهک‌های پلاژیک و رادیولاریت می‌باشند که توسط گسل نصرت‌آباد از بلوك لوت جدا شده و در بخش‌های شمالی گسل نصرت‌آباد قرار دارند. ۵- نهشته‌های رسوبی متعلق به کرتاسه فوقانی و پالئوسن که در شرق گسل نصرت‌آباد و غرب گسل زاهدان به فراوانی دیده می‌شوند و شامل شیل و ماسه سنگ وسیلت استون می‌باشند و تحت عنوان فلیش‌های قدیمی معرفی می‌شوند. محیط تشکیل آن‌ها دریاهای عمیق تا نیمه عمیق بوده که این مجموعه تحت تاثیر رخدادهای زمین‌ساختی دچار دگرگشکلی متفاوتی شده‌اند. ۶- نهشته‌های رسوبی شامل ماسه سنگ‌ها، آهک‌های ماسه‌ای قهقهه‌ای رنگ، مارن‌های سبز و زرد رنگ، آهک‌های خاکستری فسیل‌دار و شیل‌های سبز و ارغوانی متعلق به ائوسن فوقانی می‌باشند که در بعضی نقاط شیل‌ها و آهک‌های این مجموعه در بعضی نقاط مانند کوه لار دچار دگرگونی در حد اسلیت و مرمر شده‌اند. این مجموعه تحت عنوان فلیش‌های جوان می‌باشند که در مجاورت فلیش‌های قدیمی کرتاسه با روند

کمتر دچار دگرگشکی و آشفتگی‌های تکتونیکی شده‌اند، می‌تواند گزینه‌ی مناسبی برای بررسی و تفکیک فازهای مختلف تنش و در نهایت دست‌یابی به اطلاعاتی ارزشمند باشد که از آن بتوان در تفسیر تکامل تکتونیک این کوهزاد استفاده نمود. هدف از این پژوهش بررسی تغییرات جهت تنش در بازه‌های زمانی متفاوت در واحدهای مختلف سنگی و چینهای با استفاده از داده‌های برداشت شده از پیزگی‌های هندسی و کینماتیک گسل‌ها و مقایسه آن با الگوهای چین خوردگی و دیگر ساختارهای زمین‌شناسی و تفکیک فازهای مختلف دگرگشکلی است. تحلیل تکتونیکی شامل جمع‌آوری داده‌ها، جداسازی داده‌ها بر اساس تعیین سن، محاسبه میدان‌های تنش و بررسی کینماتیک چین خوردگی‌ها و در نهایت شناسایی و طبقه‌بندی رویدادهای مختلف دگرگشکلی است.

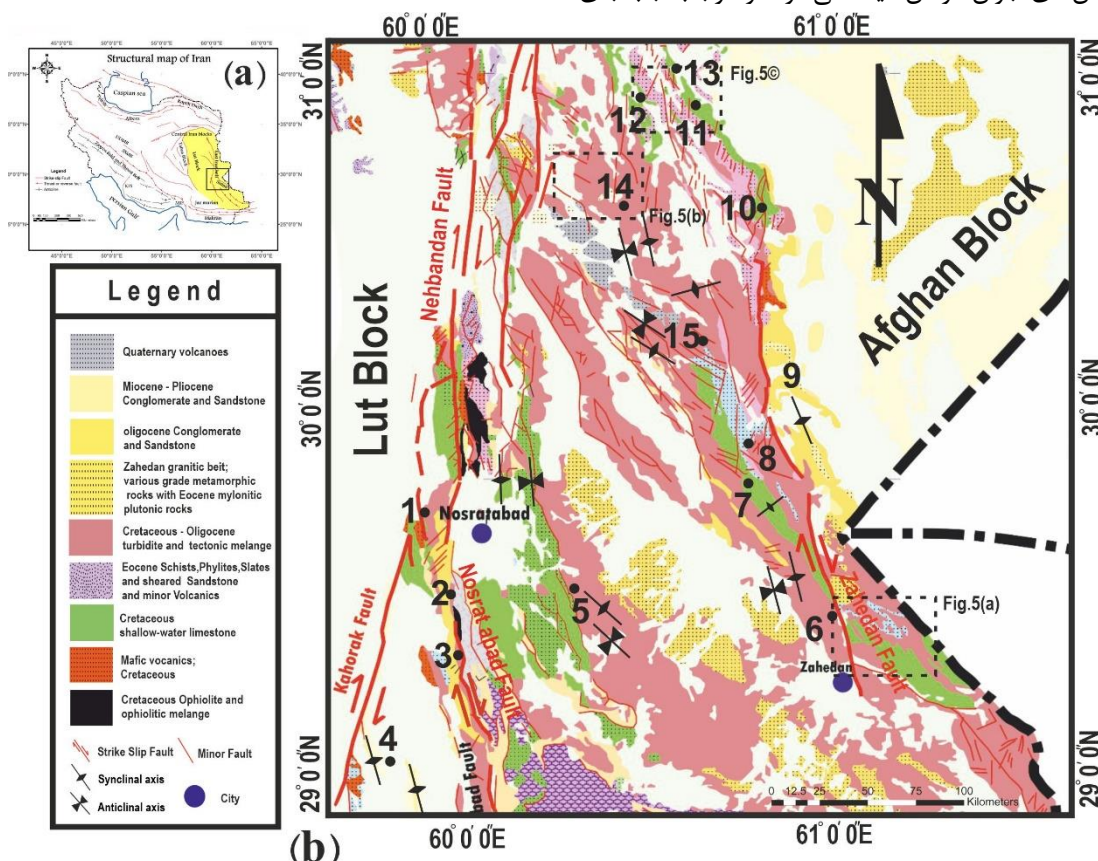
## ۲- زمین‌شناسی

### ۲-۱- زمین‌شناسی عمومی

منطقه مورد مطالعه در بخش جنوبی پهنه جوش خورده سیستان و بین طول‌های جغرافیای  $۳۱^{\circ} ۰۰' \text{ تا } ۶۱^{\circ} ۰۰'$  و عرض‌های جغرافیایی  $۴۰^{\circ} ۲۹' \text{ تا } ۴۰^{\circ} ۰۰'$  می‌باشد (شکل ۱) تاکنون تقسیم‌بندی‌های گوناگونی برای واحدهای تکتونیک استراتیگیکی شرق ایران انجام شده است که هر یک از این پژوهشگران تحت اسامی مختلفی از آن یاد کرده‌اند. از مهمترین کارها می‌توان به زون فلیش (Eftekhar-Stocklin, 1972)، جبال مکران و شرق ایران (Nejad, 1993) زون نهبندان - خاش (Nabavi, 1976)، اوروکلین بلوچستان، اوروکلاین شرق ایران (Kearey, 2009) و (Bagheri, 2020) زمین درزسیستان (Camp and Griffis, 1982) و (Tirrul et al., 1983) Alavi, (Nogol Sadat, 1993) و (1983)، لوت سیستان (Carey, 1955) و (Tirrul et al., 1983) کوه‌های شرق ایران می‌توان اشاره نمود. اکثر مطالعات انجام شده بر پایه دو مدل: ۱- ریفتی (Stocklin, 1972) و ۲- مدل چرخش خرد قاره (Bagheri, 2020) می‌باشد. زون جوش خورده سیستان در حد فاصل زون گسلی نهبندان، کهورک، نصرت‌آباد و کارواندر در غرب و هریروود در شرق، در گستره‌ای با طول  $۸۰۰$  کیلومتر و عرض  $۲۰۰$  کیلومتر و انباسته‌هایی ضخیم از نوع نهشته‌های فلیش وجود دارد که پی سنگ افیولیتی وابسته به پوسته‌های اقیانوسی را دارند (Stocklin, 1972). زون سیستان نمایانگر یک لیتوسفر اقیانوسی باریک است که از اوایل کرتاسه، دستخوش تاریخچه نسبتاً پیچیده‌ای شده است که با تغییرات در محیط تکتونیکی و فازهای تنش همراه بوده است. شکافتن، فرورانش، استقرار افیولیت، برخورد ترانشه

یال‌های چین‌خوردگی‌ها شده‌اند. ۱۰- گسل زاهدان شرقی‌ترین گسل منطقه بوده و از جنوب زاهدان تا سفیدآبه کشیده شده است و دارای مولفه معکوس امتدادی راستگرد می‌باشد (Aghashahi, 2006). ۱۱- واحدهای موسوم به الیگومیوسن که بر روی فلیش‌های جوان و قدیمی قرار دارند که از کنگلومراها و ماسه سنگ‌های دانه درشت تشکیل شده‌اند.

شمال غرب - جنوب شرق دیده می‌شوند. ۷- توده‌های نفوذی آذرین که در درون فلیش‌های جوان با روند شمال غربی جنوب شرقی قرار دارند. ۸- چین‌خوردگی‌هایی با روند شمال شرقی و شمال غربی که نشان از سرگذشت متفاوت تکتونیکی برای نیشته‌های رسوی بین دو گسل نصرت‌آباد و گسل زاهدان می‌باشد. ۹- گسل‌های مزدوج با دو راستای N10-30 با مولفه راستگرد و N75-80 با مولفه چپگرد که در بیشتر فلیش‌های جوان ائوسن دیده می‌شوند و موجب جابه‌جای



شکل ۱- (a) موقعیت منطقه مورد مطالعه و راهنمای نقشه زمین‌شناسی، و (b) نقشه زمین‌شناسی و مکان داده‌های جمع آوری شده بر روی نقشه.

Fig 1. (a) Location of the study area, and (b) Geological map and the location of collected data on the map.

(Angelier, 2002) تعیین گردید. تعیین موقعیت محورهای جنبشی، داده‌های برداشت شده شامل موقعیت هندسی صفحات گسلی و سطوح محوری چین‌خوردگی‌ها و همچنین داده‌های جمع آوری شده از زلزله‌های با بزرگای بیش از ۵ ریشتر وارد نرم‌افزار Win شده و مورد بررسی و آنالیز قرار گرفتند. همچنین تعیین tensor محورهای کشش (T) و فشارش (P) و همچنین تعیین مکانیسم گسل‌ها و رسم نمودار مثلثی (Frohlich, 1992) از نرم افزار Mech App استفاده شده است و مورد بررسی قرار گرفته‌اند.

### ۳- مواد و روش‌ها

در این پژوهش، ابتدا پس از انجام مطالعات و بررسی‌های پیشین، برداشت‌های میدانی شامل ویژگی‌های هندسی گسل‌ها و چین‌خوردگی‌ها (از جمله صفحات گسلی، سطوح لغزش گسلی، یال‌های چین، سطوح محوری چین‌خوردگی‌ها، محور چین‌خوردگی‌ها) در ۱۵ ایستگاه انجام شد. برای تحلیل چین‌خوردگی‌ها، نرم افزار Stereonet بکارگرفته شد. سپس جهت‌های تنش اصلی بر اساس موقعیت هندسی صفحات و خطواره‌های گسلی با استفاده از روش وارونگی تنسور تنش

#### ۴- روش تحقیق

##### ۴-۱- محاسبه تنش دیرین

تنش ایجاد شد؛ متغیرهای تنسور تنش کاهاش یافته، تعیین شده است. در فازهایی که چین خوردگی سبب کج شدگی گسل‌ها شده‌اند؛ با استفاده از بازسازی هندسی و باز گرداندن لایه‌ها و گسل‌ها به حالت اولیه خود قبل از تغییر شکل و چین خوردگی و محاسبه پالئواسترس می‌توان تنش اولیه که باعث ایجاد این ساختارها شده‌اند را محاسبه نمود (Navabpour, 2007)، که سطوح گسلی از این دست نیز به موقعیت اولیه خود باز گردانده شد، سپس گسل‌های بدون سن نسبی مشخص بر پایه هم‌خوانی آنها و در میدان‌های تنش به دست آمده در فازهای مختلف قرار گرفته‌اند و تحلیل تنش با همه سطوح گسلی قابل قبول صورت پذیرفته است. سطوح گسلی در چهار زمان کرتاسه، ائوسن، الیگوسن و میوسن اندازه‌گیری و گروه‌بندی شدند که نتایج آن در (شکل ۲) آورده شده است. در مرحله بعد اطلاعات مربوط به خش‌لغزهای ۱۵ ایستگاه مربوط به هر زمان با هم تلفیق شدند و جهت تنش‌های اصلی مشخص شدند (شکل ۴)، که سه فاز تنش اصلی معرف سه فاز دگرشکلی در زمان‌های کرتاسه ( $N10^{\circ} \pm 15^{\circ}$ )، پالئوئن ( $N60^{\circ} \pm 25^{\circ}$ ) و نئوئن ( $N197^{\circ} \pm 10^{\circ}$ ) شناسایی و تفکیک شدند.

##### ۴-۲- بازسازی تنش‌ها با استفاده از گسل‌های مزدوج

گسل‌های مزدوج به دو دسته اصلی تقسیم می‌شوند که هر یک به شکلی متقاطع با مولفه‌های امتدادی مخالف خود قرار دارند. این گسل‌ها در واقع به ما کمک می‌کنند تا ساختارهای زمین‌شناسی و تنش‌های موجود در یک منطقه خاص را بهتر درک کنیم. در واقع، نیمساز زاویه حاده‌ای که بین این دو روند گسل وجود دارد، نشان دهنده جهت اصلی تنش‌های وارد شده به آن ناحیه است و به عنوان ابزاری برای تعیین و شناسایی تنش‌های قدیمی نیز به کار می‌رود (Anderson, 1955).

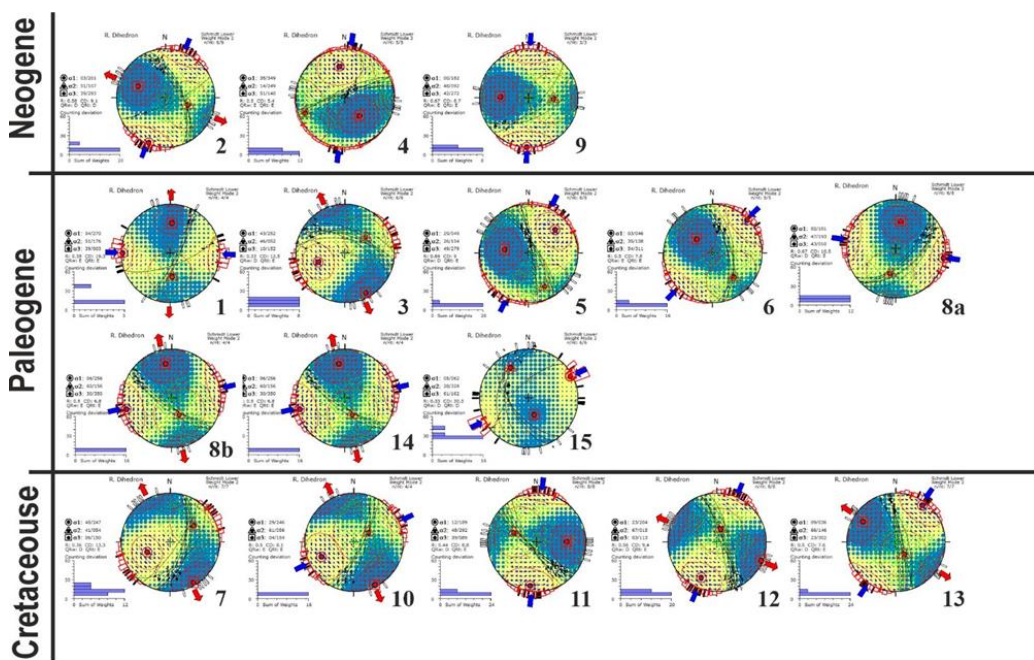
بررسی‌های انجام شده از طریق تصاویر ماهواره‌ای و مشاهدات میدانی به وضوح نشان می‌دهد که در منطقه مورد نظر، دو دسته گسل راستالغز وجود دارد (شکل ۵a,b). یکی از این گسل‌ها با امتداد شمالی - جنوبی و مولفه امتدادی راستگرد مشخص می‌شود، در حالی که گسل دیگر با امتداد شمال شرقی - جنوب غربی و مولفه امتدادی چپگرد فعالیت می‌کند. این گسل‌ها در نهشته‌های ائوسن قرار دارند و تأثیر قابل توجهی بر روی دیگر ساختارها از جمله جابه‌جایی برخی از یال‌های چین خوردگی‌ها داشته‌اند. بازسازی این گسل‌ها، راستای تنش با زاویه  $N42^{\circ}$  را نشان می‌دهند (شکل ۵c).

**۴-۳- روش تحقیق**

برای محاسبه تنش ابتدا موقعیت سطوح گسلی، موقعیت خش‌لغزهای گسلی، سوی لغزش‌ها به همراه موقعیت لایه‌بندی‌ها در ۱۵ ایستگاه برداشت شده است سپس برای تعیین سن تقریبی و نسبی گسل‌ها چگونگی قطع شدگی و جابه‌جایی گسل‌ها با یکدیگر، توالی خش‌لغزهای گسلی مختلف روی سطح هر گسل، برداشت شده است. یکی از مهمترین فرضیات روش وارونسازی، رخداد لغزش در جهت تنش بر بشی بیشینه در سطح گسل است. بنابراین هر میدان تنشی تنها توانایی ایجاد یک خش‌لغز در سطح گسل خواهد داشت. در برداشت‌های صحرایی، گاه چند خش‌لغز در سطح گسل دیده می‌شود. ایجاد چند خش‌لغز گسلی ممکن است در اثر تغییر محلی جهت تنش اصلی صورت گیرد که در این حالت ممکن است چند خش‌لغز در یک فاز دگرشکلی ایجاد شوند. تغییر جهت لغزش در اثر تغییر مقاومت در سطح گسل و یا تغییر شرایط مرزی نیز ممکن است سبب ایجاد چند خش‌لغز در سطح گسل شود. تغییر میدان تنش ناحیه‌ای به واسطه تغییر شرایط مرزی صفحات و اگرا نیز چندین خش‌لغز در سطح گسل ایجاد می‌کند. خش‌لغزهای ایجاد شده در میدان تنش محلی به واسطه ناسازگاری با میدان تنش ناحیه‌ای در هنگام تحلیل تنش به روش برگشتی شناسایی و حذف شده‌اند.

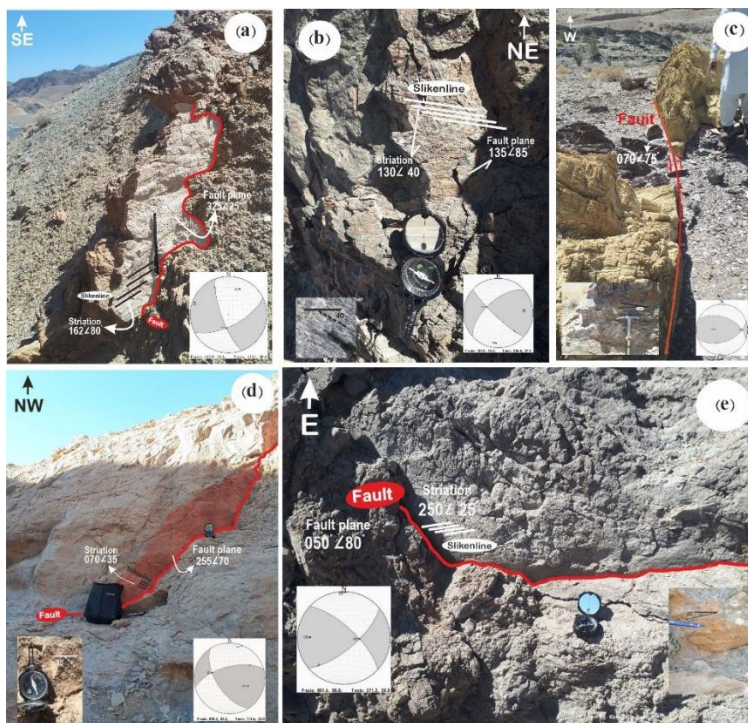
گسل‌های با موقعیت و خش‌لغزهای مشابه در یک فاز تشکیل می‌شوند (Delvaux, 2014) از این رو دسته‌بندی گسل‌ها با استفاده از نرم افزار Win tensor و به روش تحلیل تنش سه محوره و بر اساس داده‌های گسلی مانند شب گسل، امتداد گسل و ریک گسل‌ها برای هر ایستگاه انجام پذیرفت (شکل ۲). تعیین محورهای تنش و تفکیک فازهای زمین‌ساختی با استفاده از تحلیل خش‌لغزهای گسلی و روش وارونسازی در صورتی امکان‌پذیر است که تعداد داده‌ها Navabpour (, 2007). روش وارونسازی چند مرتبه‌ای بهترین روش برای پی‌بردن به فازهای مختلف تنش دیرین است که با محاسبه موقعیت تنش‌های اصلی  $\sigma_1$ ،  $\sigma_2$ ،  $\sigma_3$  و نسبت مقادیر تنش‌های یاد شده  $\Phi = (\sigma_2 - \sigma_3)/(\sigma_1 - \sigma_3)$ ، شکل بیضوی تنش بدست می‌آید (Angelier, 1979).

تحلیل تنش هر گروه در چندین مرحله انجام شده است و گسل‌های با زاویه عدم برآش بیش از  $30^{\circ}$  و گسل‌های با موقعیت نامناسب در دایره‌مدور در هر مرحله پالایش شده‌اند. در ادامه با حذف تعدادی از داده‌های گسلی شرایط پایدار برای تعیین متغیرهای تنسور



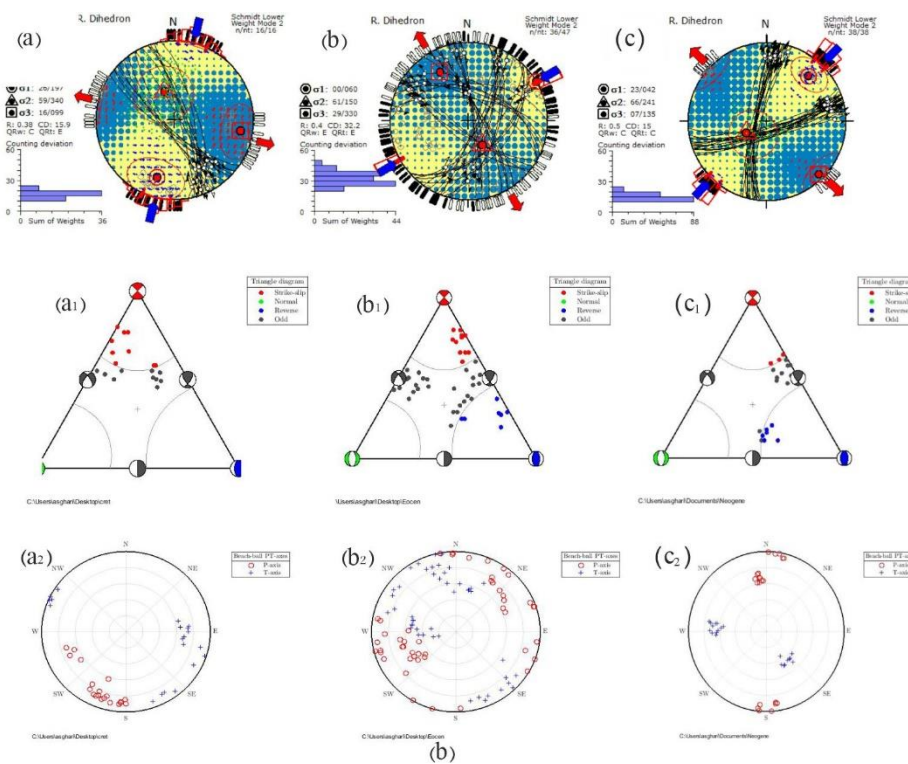
شکل ۲- تغییرات تنش در منطقه مورد مطالعه در زمان‌های کرتاسه، پالئوژن و نئوژن.

Fig2. Changes in Stress in the Study Area During the Cretaceous, Paleogene, and Neogene Periods.



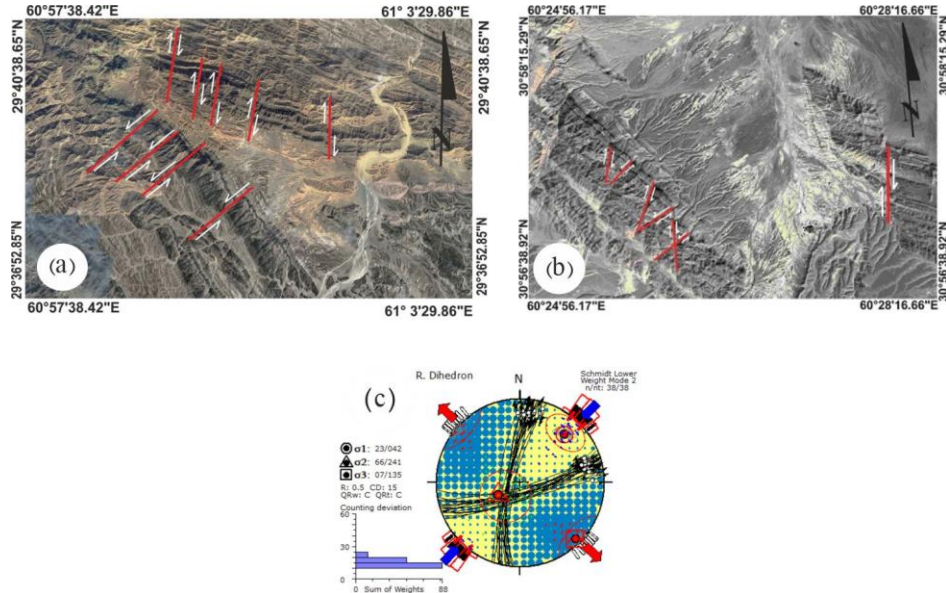
شکل ۳- نمونه‌هایی از گسل‌ها و آینه‌های گسلی و موقعیت خش‌لغزها برداشت شده به همراه استریوگراف آن‌ها که بترتیب مربوط به (a) سیلت استون‌ها و ماسه‌سنگ‌های اثوسن ایستگاه ۵، (b) بازالت‌ها و واحدهای کرتاسه ایستگاه ۱۱، (c) واحدهای سیلتی و رسوبی میوسن ایستگاه ۹، (d) سیلت استون‌ها و ماسه‌سنگ‌های اثوسن ایستگاه ۳، و (e) گراول‌های پلیستوسن ایستگاه ۹.

Fig3. Examples of faults and slickenside faults and the location of landslides were taken along with their stereographs, which are respectively related to (a) Eocene siltstones and sandstones of station 5, (b) Basalts and Cretaceous units of station 11, (c) Silty units and Miocene sediments of station 9, (d) Eocene siltstones and sandstones of station 3, and (e) Pleistocene gravels of station 9.



شکل ۴- (a,b,c) روند تنش‌های اصلی حاصل از برداشت‌های گسلی در سه زمان (a) کرتاسه، (b) پالئوژن و (c) نئوژن. (a1,b1,c1) نمودار مثلثی طبقه‌بندی مکانیسم گسل (Frohlich, 1992)، به همراه (a2,b2,c2) نمودارهای P و T محاسبه شده برای دوره‌های (a1,a2) کرتاسه، (b1,b2) پالئوژن و (c1,c2) نئوژن.

Fig4. The trend of principal stresses and the Mohr circle resulting from faulting at three times: (a) Cretaceous, (b) Paleogene, and (c) Neogene. (a1, b1, c1) Triangular diagram of fault mechanism classification (Frohlich 1992), along with (a2, b2, c2) P diagrams and T calculated diagrams for the periods (a1, a2) Cretaceous, (b1, b2) Paleogene, and (c1, c2) Neogene.



شکل ۵- نمایی از گسل‌های مزدوج در (a) شمال شرق زاهدان، (b) شرق سفیدآباده به همراه استریوگراف و جهت تنش‌های اصلی(c).

Fig5. View of conjugate faults in (a) Northeast of Zahedan, (b) east of Sefidabeh along with stereograph, and principal stress directions (c).

این چین‌ها را فازهای جدید تنش دانست که سبب تغییر شکل در این محدوده شده است. از جمله این چین‌ها چین 7 Fold که در موقعیت  $11.9^{\circ}49'60''N$ ,  $29^{\circ}42'09.2''E$  قرار دارد و دارای سطح محوری  $0^{\circ}25^{\circ}56'$  می‌باشد (شکل ۷).

چین‌های نسل دوم و سوم: چین‌های نسل دوم دارای سطح محوری شمالی - جنوبی می‌باشند و تعداد چین‌های نسل دوم و سوم نسبت به چین نسل اول بیشتر می‌باشد. می‌توان دلیل زیاد بودن تعداد این چین‌ها را هم‌خوانی محورهای تنش این چین‌ها با فازهای تنش کنونی دانست. از جمله این چین‌ها چین 6 Fold که در موقعیت  $60^{\circ}46.60'4'E$ ,  $5^{\circ}51.15^{\circ}29''N$  قرار دارد و دارای سطح محوری  $0^{\circ}00'03''$  می‌باشد (شکل ۸). چین‌های نسل سوم دارای سطح محوری شمال غربی جنوب شرقی بوده و تعداد آنها از چین‌های نسل دوم نیز بیشتر است از جمله این چین‌ها چین a Fold 4a که در موقعیت  $59^{\circ}41'6.67''E$ ,  $5^{\circ}42'30''N$  قرار دارد و دارای سطح محوری  $0^{\circ}34'40''$  می‌باشد.

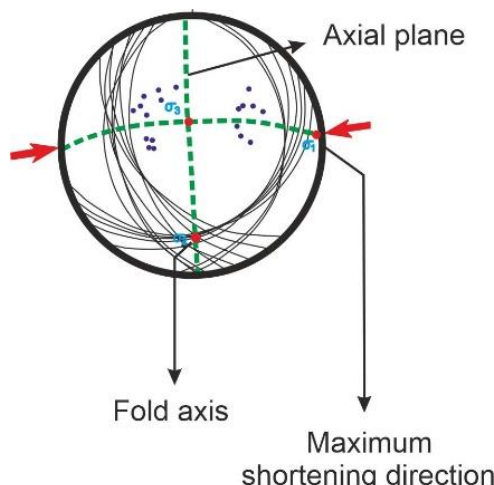
#### ۴- بازسازی تنش‌ها با استفاده از زمین لرزه‌های بالای ۵ ریشت

به منظور تعیین میدان تنش زمان حاضر، زمین لرزه‌های به وقوع پیوسته با بزرگی بالای ۵ ریشت و دارای حل کانونی در کوهزاد شرق ایران از کاتالوگ جهانی GCMT گردآوری شدند (جدول ۲). با وارد کردن فوکال مکانیسم مربوط به هر زلزله در نرمافزار Win tensor، موقعیت تنش‌های اصلی،  $\sigma_1=071/19$ ،  $\sigma_2=202/63$ ،  $\sigma_3=334/19$ ، و نسبت مقادیر تنش  $R=0.79$  محاسبه شد (شکل ۱۰).

#### ۴-۳- چین خوردگی‌های منطقه

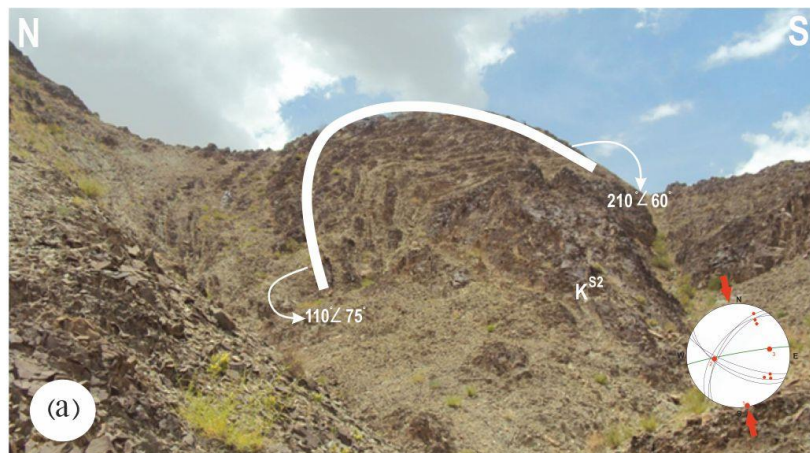
چین‌ها حاصل دگرگشکلی، شکل پذیر سنگ‌ها هستند که تغییرات تدریجی اما پیوسته‌ای را تولید کرده به گونه‌ای که سنگ خود را با دگرگشکلی سازگار می‌کند (Ramsay, 1986). این ساختار می‌توانند در روند بررسی تنش‌های اعمال شده در منطقه کمک زیادی باشند. به طور کلی جهت کوتاهشدن چین خوردگی‌ها را می‌توان با محاسبه سطح محوری و محور چین خوردگی تعیین نمود. قطب یال‌های یک چین خوردگی، سطحی را مشخص می‌کند که قطب آن سطح، محور چین خوردگی (محور  $\pi$ ) یا جهت  $\sigma_2$  را نشان می‌دهد. سطحی که یک چین را به دو قسمت تقسیم می‌کند سطح محوری نامیده می‌شود و آریموتی که عمود بر سطح محوری باشد جهت کوتاهشدن چین خوردگی و  $\sigma_1$  را نشان می‌دهد (شکل ۶). چین خوردگی‌ها از شاخص‌ترین ساختارهای تکتونیکی در شرق ایران می‌باشند، به طوری که وجود آنها را می‌توان در مقیاس‌ها و روندهای متفاوت در بخش میانی کوهزاد شرق ایران مشاهده نمود. بعد از برداشت‌های صحرایی اطلاعات مربوط به سطوح محوری چین خوردگی‌ها با هم تلفیق شده و بر اساس محور کوتاهشدن چین خوردگی‌ها میدان‌های تنش در فازهای مختلف قرار گرفته‌اند که نتایج آن در شکل ۹ آورده شده است که نشان می‌دهد در این منطقه شاهد سه نسل چین خوردگی هستیم که به بعضی از مهمترین خصوصیات چین‌های برداشت شده و روند تغییرات کوتاهشدن چین‌ها در منطقه اشاره می‌شود.

چین‌های نسل اول: با سطح محوری خاوری باخته می‌باشند. تعداد این چین‌ها بسیار کم می‌باشد و می‌توان دلیل کم تعداد بودن



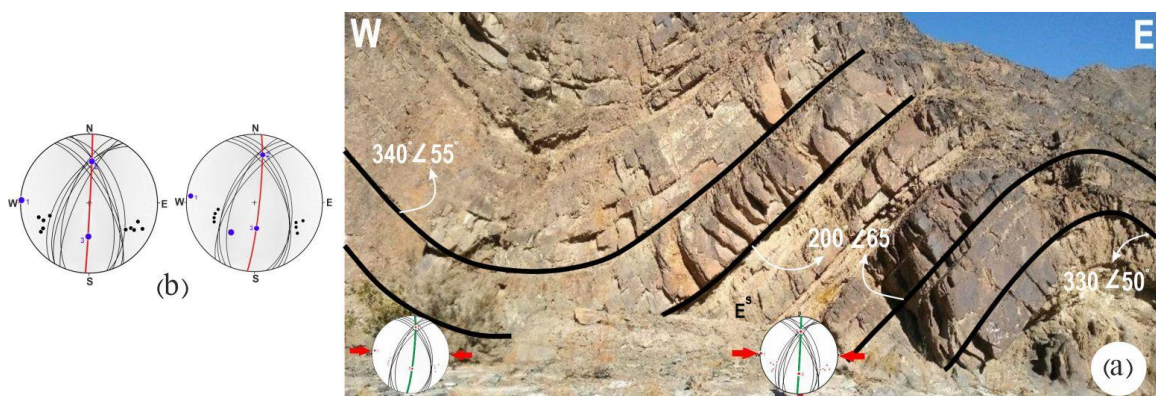
شکل ۶- دیاگرام  $\pi$  که جهت کوتاهشدن چین خوردگی را به ما نشان می‌دهند.

Fig6.  $\pi$  Diagram showing the direction of fold shortening.



شکل ۷- (a) تصویر صحرايی مربوط به چين خورده‌گي در واحد های كرتاسه در ايستگاه ۷ و (b) استريوگراف آن.

Fig 7. (a) Field image related to folding in Cretaceous units at station 7, and (b) its stereograph.



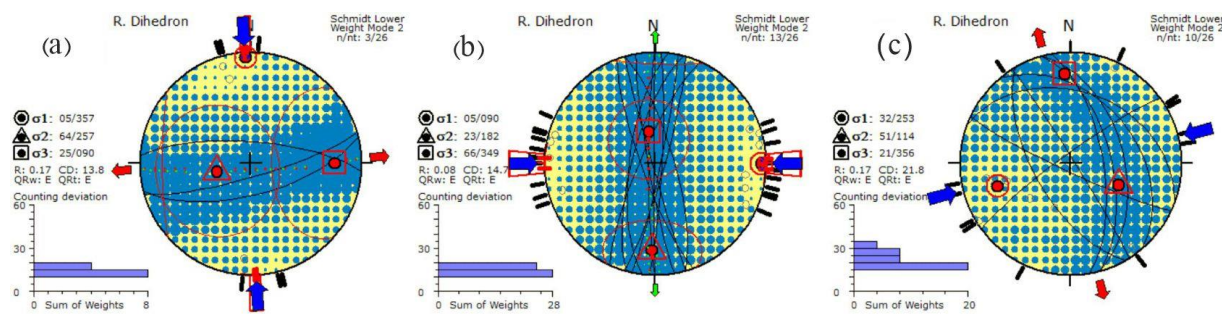
شکل ۸- (a) شکل صحرايی مربوط به چين خورده‌گي در ماسه‌سنگ‌های پليوسن در ايستگاه ۶ و (b) استريوگراف آن.

Fig 8. (a) Field image related to folding in Pliocene sandstones at station 6, and (b) Its stereograph.

جدول ۱- سطح محوري، ميل محور و زاويه بين يالى به همراه تصاویر استريوگرافی نمونه‌های از چین‌های منطقه مورد مطالعه.

Table 1. Axial plane, plunge, and Interlimb Angle along with Stereographic Images of Examples of Folds in the Study Area.

Fold	Latitude Longitude	Stratigraphic age	Axial plane	The angle between the limb	plunge	The trend of Maximum shortening
Fold <sub>7</sub>	29°42'09.2"N 60°49'11.9"E	Cretaceous	256°/80°	70°	260°/50°	NW-NE
Fold <sub>15</sub>	29°50'37.43"N 60°48'1.10"E	Paleocene	267°/87°	130°	267°/60°	N-S
Fold <sub>6</sub>	29°51.15'5"N 60°46.60'4"E	Pliocene	003°/89°	50°	003°/36°	W-E
Fold <sub>14</sub>	29°24'27.53"N 59°42'39.32"E	Miocene	345°/87°	85°	345°/03°	NE-SW
Fold <sub>4a</sub>	29°23'5.45"N 59°41'6.67"E	Miocene	340°/80°	100°	340°/01°	NE-SW
Fold <sub>4b</sub>	29°20'1.82"N 59°42'33.87"E	Miocene	345°/80°	110°	340°/02°	NE-SW



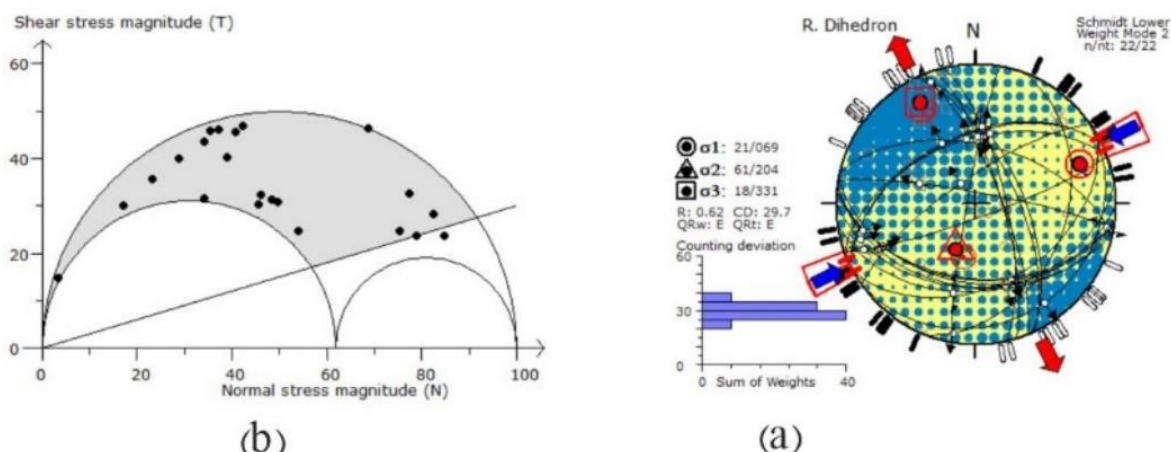
شکل ۹- تفکیک چین خوردگی‌های منطقه به سه فاز کوتاهشده‌گی بر اساس موقعیت سطوح محورهای چین خوردگی.

Fig9. Classification of the region's folds into three phases of shortening based on the position of the axial plane.

جدول ۲- مشخصات زمین‌لرزه‌های به وقوع پیوسته بالای ۵ ریشتر در کوهزاد شرق ایران به همراه موقعیت جغرافیایی آن‌ها (کاتالوگ جهانی GCMT).

Table2. Specifications of Earthquakes Above 5 MW in the Eastern Iran Mountain Range Along with Their Geographical Locations (GCMT Global Catalog).

Latitude Longitude	Magnitude	Depth	Strike	Dip	Rake	Strike	Dip	Rake
27.362°N 60.974°E	5.51	72.4	244°	50°	-112°	97°	45°	-65°
27.742°N 61.422°E	5.19	84.7	21°	35°	-167°	280°	83°	-56°
28.033°N 61.996°E	7.7	80.0	55°	15°	-90°	235°	75°	-90°
27.990°N 62.346°E	5.40	80.0	61°	41°	-92°	244°	49°	-88°
28.114°N 62.354°E	5.58	40.0	250°	52°	-98°	82°	38°	-80°
29.053°N 59.773°E	5.9	20.2	283°	55°	6°	190°	85°	145°
29.078°N 59.745°E	5.6	33.0	318°	65°	76°	168°	28°	117°
31.401°N 59.427°E	5	33.0	335°	66°	123°	98°	40°	40°
31.583°N 59.847°E	5.25	33.0	343°	75°	128°	91°	40°	24°
32.200°N 59.920°E	5.96	12.6	336°	62°	124°	101°	43°	43°
33.300°N 59.200°E	5.06	12.0	338°	75°	172°	70°	82°	15°
33.506°N 59.571°E	5.8	14.4	347°	72°	132°	96°	46°	26°



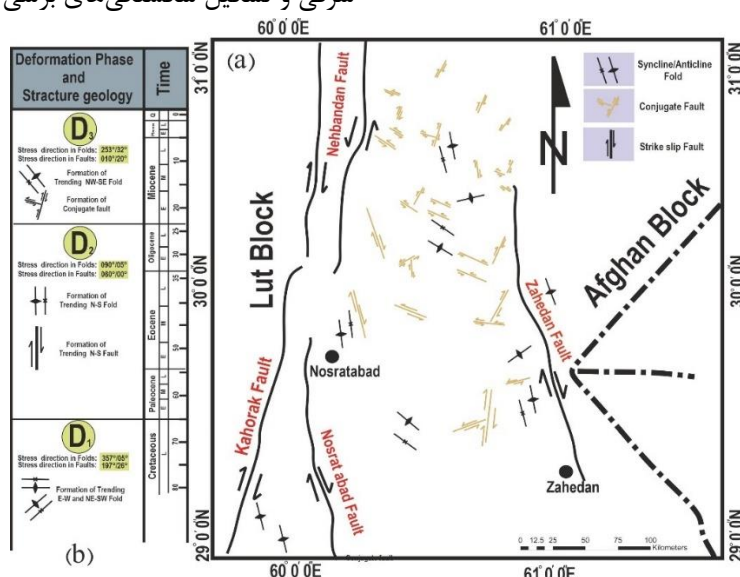
شکل ۱۰- (a) استریووگرام مربوط به سازوکار کانونی زمین‌لرزه‌ها و فاز تنش بدست آمده از زلزله‌ها، و (b) موقعیت زمین‌لرزه‌ها بر روی دایره‌موم.

Fig10. (a) Stereogram related to the focal mechanism of earthquakes and the stress phase obtained from earthquakes, and (b) Earthquake locations on the Mohr diagram.

## ۵-بحث و نتیجه‌گیری

که دارای سطوح محوری شرقی - غربی تا شمال شرقی - جنوب غربی می‌باشند. دومین فاز در راستای شرق به چین‌خوردگی‌های با سطوح محوری شمالی - جنوبی تعلق دارد و سومین فاز در راستای شمال شرقی نشان دهنده چین‌خوردگی‌هایی است که سطوح محوری آن‌ها شمال غربی - جنوب شرقی است. جهت‌های تنفس بیشینه در این چین‌خوردگی‌ها، همچنین در گسل‌ها، به طور کلی یکسان هستند. بر اساس فازهای تنفس به دست آمده از دگرشکلی‌های موجود در این منطقه و ارتباط میان عناصر مختلف، می‌توانیم سه رویداد دگرشکلی را شناسایی کنیم (شکل 11b). اولین رویداد با چین‌خوردگی‌هایی که روند آن‌ها از شرقی - غربی تا شمال شرقی - جنوب غربی است، ارتباط دارد. میدان تنفس که این ساختارها را ایجاد کرده، با میدان تنفس کنونی هم‌خوانی ندارد و منبع دینامیکی آن به سمت شمالی - جنوبی و تا شمال غربی است، که این موضوع به قبل از برخورد بلوک لوت و بلوک افغان در جنوب شرق مربوط می‌شود. رویداد دگرشکلی دوم موجب ایجاد ساختارهایی با روند شمالی - جنوبی شده است. به عنوان مثال، چین‌خوردگی‌ها و سیستم گسلی شرق ایران از نتایج این رویداد هستند که همزمان با برخورد صفحه هند به اوراسیا و همچنین برخورد بلوک لوت به بلوک افغان به وجود آمدند. رویداد سوم، ناشی از برخورد صفحه عربستان با ایران و تغییر فاز تنفس در این منطقه است، این رویداد دگرشکلی موجب به وجود آمدن چین‌خوردگی‌هایی با روند شمال غربی - جنوب شرقی و تشکیل شکستگی‌های برشی مزدوج در ناحیه شده است.

تحلیل تنفس دیرین یک ابزار بسیار مفید است که می‌تواند به ما کمک کند تا فازهای مختلف تنفس را تفکیک کنیم و ارتباطات میان دگرشکلی‌های به وجود آمده را بهتر درک نماییم. این تحلیل می‌تواند داده‌های با ارزش و مهمی درباره روند تکامل کوه زادها به ما ارائه دهد. منطقه‌ای که در این تحقیق مورد بررسی قرار گرفته، بخش میانی زون سیستان است که دارای ساختارهای دگرشکل متعدد و متفاوت است (شکل 11a). این ساختارها نشان دهنده یک تاریخچه تکتونیکی پیچیده و غنی می‌باشند. تنوع ساختاری موجود در این منطقه و وجود چین‌خوردگی‌ها با سطوح محوری متفاوت، تمامی این موارد حاکی از این است که در این منطقه دستخوش دگرشکلی‌های فراوانی بوده است. در این مطالعه، ما از تنفس دیرین برای بررسی و تحلیل ارتباطات میان دگرشکلی‌ها استفاده کردی‌ایم. نتایج بدست آمده از وارونه‌سازی داده‌های مربوط به خطوط گسلی نشان می‌دهد که محور تنفس بیشینه (σ1) در طول زمان‌های مختلف، از جمله کرتاسه تا کواترنری، در سه مرحله متفاوت دچار تغییر شده است. این تغییرات به دوره‌های تاریخی متفاوتی از جمله کرتاسه پایانی ( $N197^{\circ} \pm 25^{\circ}$ )، پالئوژن ( $N60^{\circ} \pm 25^{\circ}$ ) و نئوزن ( $N10^{\circ} \pm 10^{\circ}$ ) مربوط می‌شود. بررسی چین‌خوردگی‌های موجود در منطقه نیز حداقل سه فاز دگرشکلی را نشان می‌دهد: نخستین فاز در راستای شمال تا شمال غربی مربوط به چین‌خوردگی‌هایی است



شکل ۱۱- (a) نقشه ساختاری منطقه مورد مطالعه، و (b) جدول زمانی پیشنهادی برای تغییرات فازهای دگرشکلی به همراه جهت تنفس بیشینه و ساختارهای متأثر از این تنفس‌ها در طول کوهزایی شرق ایران.

Fig11. (a) Structural map of the study area, and (b) Proposed timeline for the changes in deformation phases, along with the direction of maximum stress and the structures affected by these stresses during the East Iranian orogeny.

## ۶-مراجع

- Aghashahi Ardestani, S., 2006. Earthquake structure and seismicity of Zahedan fault and its effect on the area of Zahedan city. master's thesis. University of Sistan and Baluchistan, Zahedan.
- Alavi, M., 1991. Sedimentary and structural characteristics of the Paleo-Tethys remnants in northeastern Iran. Geological Society of America Bulletin 103, 983-992. <https://doi.org/10.2475/ajs.304>.
- Allmendinger, RW., Cardozo, N., Fisher, DM., 2011. Structural geology algorithms: Vectors and tensors. Cambridge University Press. 313 P.
- Anderson, E.M., 1955. The dynamics of faulting and dyke formation with applications to Britain.
- Angelier, J., 2002. Inversion of earthquake focal mechanisms to obtain the seismotectonic stress a new method free of choice among nodal planes. Geophysical Journal International 150, 588-609. <https://doi.org/10.1046/j.1365-246X.2002.01713.x>.
- Angelier, J., Goguel, J., 1979. Sur une méthode simple de détermination des axes principaux des contraintes pour une population de failles. Comptes Rendus de l'Académie des Sciences de Paris 288, 307-310. [https://doi.org/10.1016/0040-1951\(79\)90081-7](https://doi.org/10.1016/0040-1951(79)90081-7).
- Bagheri, S., Damani Gol, Sh., 2020. The eastern Iranian orocline. Earth-Science Reviews 210, 103322. <https://doi.org/10.1016/j.earscirev.2020.103322>.
- Camp, V., Griffis, RJ., 1982. Character, genesis, and tectonic setting of igneous rocks in the Sistan suture zone, eastern Iran. Lithos 15, 221-239. [https://doi.org/10.1016/0024-4937\(82\)90014-7](https://doi.org/10.1016/0024-4937(82)90014-7).
- Carey, S., 1955. The orocline concept in geotectonics. Tasmania 89, 255–288.
- Darvishzadeh, A., 2006. Geology of Iran (stratigraphy, tectonics, metamorphism and magmatism). 1st edition, Amirkabir Publications, p. 902.
- Delvaux, D., 2010. Win Tensor [Version 5.0]. Retrieved from. <http://damiendelvaux.be/Tensor/WinTensor/win-tensor.html>.
- EftekhariNejad, J., McCall, GJH., 1993. Explanatory text of the Nikshahr quadrangle Map 1:250000. Geological Survey of Iran. 19-22.
- Frohlich, C., 1992. Triangle diagrams: ternary graphs to display the similarity and diversity of earthquake focal mechanisms. Physics of the Earth and Planetary Interiors 75, 193–198. [https://doi.org/10.1016/0031-9201\(92\)90130-N](https://doi.org/10.1016/0031-9201(92)90130-N).
- Ezati, M., Gholami, E., Mousavi, SM., 2020. Paleostress regime reconstruction based on brittle structure analysis in the Shekarab Mountain, Eastern Iran. Arabian Journal of Geosciences 13, 1-18. <https://doi.org/10.1007/s12517-020-06235-4>.
- Jentzer, M., Fournier, M., Agard, P., Omrani, J., Khatib, MM., 2017. Neogene to Present paleo stress field in Eastern Iran (Sistan belt) and implications for regional geodynamics. Tectonics 362, 321-339. <https://doi.org/10.1002/2016TC004275>.
- Mousavi, SM., Khatib, MM., Alavi, A., 2010. Separation of ancient stress phases by inversion method from fault planes in south Birjand region. Iranian Geology Quarterly 4, 27-38. Retrieved from. <https://www.magiran.com/p922507>.
- Nabavi, M.H., 1976. An introduction to the geology of Iran. Geological Survey of Iran 109.
- Navabpour, P., Angelier, J., 2007. Cenozoic post collisional brittle tectonic history and stress reorientation in the High Zagros Belt (Iran, Fars Province). Tectonophysics 432, 101-131. <https://doi.org/10.1016/j.tecto.2006.12.007>.
- Navabpour, P., Angelier, J., 2008. Stress state reconstruction of oblique collision and evolution of deformation partitioning in W-Zagros (Iran, Kermanshah). Geophysical Journal International 175, 755-782. <https://doi.org/10.1111/j.1365-246X.2008.03916.x>.
- Nogal Sadat, MAA., 1993. Tectonic map of Iran, one millionth scale. Organization of Geology and Mineral Exploration of the country.
- Ramsay, J.G., 1986. The techniques of modern structural geology. The Techniques of Modern Structural Geology, Folds and Fractures 2, 309-700.
- Sahimi, A., Mousavi, SM., Khatib, MM., 2018. Analysis of ancient stress in the Shirshtar region (one of the northern branches of the Nehbandan fault). MSc thesis. University of Birjand, Birjand. <https://doi.org/10.22055/aag.2019.28201.1924>.

- Stöcklin, J., Eftekhar nezhad, J., Hushmand zadeh, A., 1972. Central Lut Reconnaissance, East Iran: Geology. Survey Iran Rept, p. 22- 62.
- Stöcklin, J., 1974. Possible ancient continental margins in Iran. In The geology of continental margins, pp. 873-887. [https://doi.org/10.1007/978-3-662-01141-6\\_64](https://doi.org/10.1007/978-3-662-01141-6_64).
- Stoecklin, J., 1968. Structural history and tectonics of Iran: a review. American Association of Petroleum Geologists Bulletin 52, 1229-1258. <https://doi.org/10.1306/5D25C4A5-16C1-11D7-8645000102C1865D>
- Shahrabi, M., 1994. Description of the geological map of Chargush Allahabad scale 1:250000. Geological Organization of the country.
- Tirrul, R., Bell, IR., Griffis, RJ., Camp, VE., 1983. The Sistan suture zone of eastern Iran. Geological Society of America Bulletin 94, 134-150. [https://doi.org/10.1130/0016-7606\(1983\)94<134:TSSZOE>2.0.CO;2](https://doi.org/10.1130/0016-7606(1983)94<134:TSSZOE>2.0.CO;2).